

波群の新しい表示法の試み

森 信人*・安 田 孝志**

1. 緒 言

波群(wave grouping)の問題は、海岸・海洋構造物に大きな影響を及ぼすため、その表示方法や特性について様々な議論がなされてきた。本来の波群の意味は波の連なりの度合いであり、波高分布を何ら規定していないが、最大波高やそれに準ずるような大きな波高を持つ波の出現頻度が多い場合についても波群が発達した状態として広義に捉えられるようになっている。このように、波群は単に波の連なりだけでなく、工学的に問題となる波浪の状況を示しているため、波の連なりと波高や振幅が時間・空間的にどの様に結びついているのかを定量的に評価する必要性がある。現在のところ、波列の波群性を評価する場合、連なりについては平均連長、波高についてはGFが一般的に用いられている。しかし、これらの指標の持つ意味、それぞれの関連性、妥当性については不明瞭な点が多く疑問の余地がある。

本研究では、従来用いられている波群の表示方法の定義とその問題点について触れた後、新しい波群の表示方法についての提案とその適用について検討を行う。

2. 従来用いられている統計量の特性と欠点

2.1 平均連長

不規則な波の波高を定義する方法としてゼロクロス法は非常に簡便であり、また直感的な方法である。しかし、実波形のローカルな極大値と極小値を波高として定義するゼロクロス法は、波形に人為的な操作を加えていない反面、波形が持つ情報のかなりの部分を捨てており、ゼロクロス法より連長などを計算した場合、波高との関連などは失われ、それぞれ独立したものとしか認識されないという欠点を持っている。波列が線形波であると仮定した場合、連長の値はスペクトル形状と結びついており、波群はスペクトルのバンド幅と等価であると考えて良い。しかし、実際の波列は弱非線形性を持っており、スペクトルには非線形成分が含まれ、スペクトル幅とは何

を指すのか?と言う問題がある。実際、スペクトル幅パラメータ ϵ, ν や包絡波形の相関パラメータ κ はスペクトルの非線形成分の影響を受け過大評価される傾向がある。それゆえ、スペクトルの形状やバンド幅を陽に含むような統計量を用いることは、その値が観測方法やデータの処理方法によって変動するだけでなく、非線形性の度合いの評価という不確定な要因を含むため、好ましくない。また、波形から連長は計算できるが、連長から波形を一義的に作ることは不可能であり、水槽や数値的に波列を再現する場合に連長を直接取り込むことはできない。

2.2 SIWEH および GF

GFの定義は、

$$GF = \sqrt{\frac{1}{T_0} \int_{-T_p}^{T_p} [E(t) - \bar{E}]^2 dt / \bar{E}^2} \dots\dots\dots(1)$$

$$E(t) = \int_{-T_p}^{T_p} \eta^2(t+\tau)(1-|\tau|/T_p) d\tau \dots\dots\dots(2)$$

であり(ここで、 T_0 は観測時間、 T_p はピーク周期)、式(2)中の三角フィルターをデルタ関数 $\delta(t-\tau)$ に置き換えると、kurtosis μ_4 を用いて

$$GF = \sqrt{\mu_4 - 1} \dots\dots\dots(3)$$

と表されることから、基本的に GF と μ_4 は関連の深い統計量であることがわかる。kurtosis が波高分布の形状を支配する統計量であることを考えると、Weibull 母数 m_w と GF の関係は、式(3)の μ_4 と GF の関係を経験的に置き換えたものであると言える。

また、 $Q(\tau) = (1-|\tau|/T_p)$ のフーリエ振幅 $\tilde{Q}(\omega)$ は、

$$\begin{aligned} \tilde{Q}(\omega) &= \Re \left[-\frac{4}{\omega T_0} \sin(\omega T_p) \right] \\ &\quad + \Im \left[-\frac{4}{\omega^2 T_0 T_p} \sin(\omega T_p) \right] \dots\dots\dots(4) \end{aligned}$$

であるから、計算の過程でバンドフィルター(実部に $1/\omega$ 、虚部に $1/\omega^2$)を使うため、GF にはスペクトルバンド幅の影響が陰に含まれている。これは、同じ波高分布に従う波列に対して異なる値を取ることがあり、スペクトル形状が異なる波列に対して絶対評価が難しく、GF の値が大きい場合でも広義の意味では波群が必ずしも発達

* 学生会員 工修 岐阜大学大学院 工学研究科(日本学術振興会特別研究員)

** 正会員 工博 岐阜大学教授 工学部土木工学科

と、式(10)は、

$$\phi(\omega, t) = \phi(\infty, 0, \omega_p/\gamma) = \exp(i\omega t) \quad \dots \dots \dots (18)$$

となる。式(7)に式(16)を代入すれば $c_\phi = 2\pi$ が得られ、式(17)はフーリエ変換に帰着される。

$$V(\omega) = \frac{1}{2\pi} \int_{-\infty}^{\infty} \eta(t) \exp(i\omega t) dt \quad \dots \dots \dots (19)$$

また、集中度を一定、つまり $\alpha=1$ と置き、基底関数系を簡素化した場合を考えると、

$$T(\beta, \gamma) = W(1, \beta, \gamma) \quad \dots \dots \dots (20)$$

$$\psi^{(\beta, \gamma)}(t) = \psi^{(1, \beta, \gamma)}(t) \quad \dots \dots \dots (21)$$

これを用いると、式(5)および式(6)は定数 C_ψ を用いて次のように書き換えることができる。

$$T(\beta, \gamma) = \frac{1}{C_\psi} \int_{-\infty}^{\infty} \eta(t) \psi^{(\beta, \gamma)*}(t) dt \quad \dots \dots \dots (22)$$

$$\begin{aligned} \psi^{(\beta, \gamma)}(t) &= \frac{1}{\sqrt{\gamma}} \psi\left(\frac{t-\beta}{\gamma}\right) \\ &= \exp\left[-\frac{1}{2}t^2\right] \exp\left[i\omega_p\left(\frac{t}{\gamma}-\beta\right)\right] \end{aligned} \quad \dots \dots \dots (23)$$

これは、Morlet のアナライジング・ウェーブレットを用いた連続ウェーブレット変換に他ならない。

3.3 計算方法

式(13)を実際に計算する場合は、データの周期性を仮定し、 $\phi(t)$ のフーリエ変換を以下のように表す。

$$\begin{aligned} \phi^{(\alpha, \beta)}(\omega) &= \int_{-\infty}^{\infty} \phi^{(\alpha, \beta)}(t) e^{-i\omega t} dt \\ &= e^{-i\omega\beta} \tilde{\phi}(\alpha, \omega) \end{aligned} \quad \dots \dots \dots (24)$$

ここで、 $\tilde{\phi}(\alpha, \omega)$ は、 $\phi(\alpha, t)$ のフーリエ変換であり、次式で与えられる。

$$\begin{aligned} \tilde{\phi}(\omega) &= \int_{-\infty}^{\infty} \phi(t) e^{-i\omega t} dt \\ &= \frac{\alpha}{\sqrt{2\pi}} \exp\left[-\frac{1}{2}\alpha^2(\omega - \omega_p)^2\right] \end{aligned} \quad \dots \dots \dots (25)$$

式(13)に式(24)を代入すると次式を得る。

$$G(\alpha, \beta) = \frac{1}{\sqrt{C_\phi}} \int_{-\infty}^{\infty} \bar{\eta}(\omega) \tilde{\phi}^{(\alpha, \beta)*}(\alpha, \omega) d\omega \quad \dots \dots \dots (26)$$

ここで、データの周期を T とすると、水面変動 $\eta(t)$ は次式のようにフーリエ級数展開される。

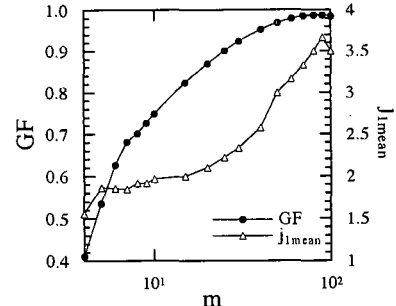
$$\eta(t) = \sum_{n=-\infty}^{\infty} a_n \exp\left(i\frac{2\pi n}{T}\right) \quad \dots \dots \dots (27)$$

$$\bar{\eta}(\omega) = 2\pi a_n \delta\left(\omega - \frac{2\pi n}{T}\right) \quad \dots \dots \dots (28)$$

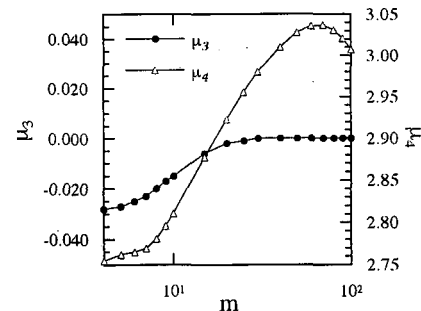
ここで、 a_n および $\bar{\eta}(\omega)$ は複素フーリエ係数であり、 $\delta(\cdot)$ はディラックのデルタ関数を意味する。

式(27)および(28)より式(26)の離散表示は、

$$G(\alpha, \beta) = \frac{1}{\sqrt{C_\phi}} \sum_{n=-\infty}^{\infty} a_n \tilde{\phi}^*\left(\alpha, \frac{2\pi n}{T}\right) \exp\left(i\frac{2\pi n}{T}\beta\right) \quad \dots \dots \dots (29)$$



(a) GF および $j_{1\text{mean}}$ とスペクトルバンド幅 m の関係



(b) skewness μ_3 および kurtosis μ_4 とスペクトルバンド幅 m の関係

図-2 各種統計量の関係

で与えられ、特に $T=1$ の場合、次式のように表される。

$$G(\alpha, \beta) = \frac{1}{\sqrt{C_\phi}} \sum_{n=-\infty}^{\infty} a_n \tilde{\phi}^*(\alpha, 2\pi n) \exp(i2\pi n\beta) \quad \dots \dots \dots (30)$$

$$= \frac{1}{\sqrt{C_\phi}} \sum_{n=-\infty}^{\infty} a_n \frac{\alpha}{\sqrt{2\pi}} \exp\left[-\frac{1}{2}\alpha^2(\omega - \omega_p)^2\right] \cdot \exp(i2\pi n\beta) \quad \dots \dots \dots (31)$$

式(31)より、係数 $G(\alpha, \beta)$ は式(27)および式(30)もしくは式(31)を計算することにより得られる。また、 $\alpha \in [0 + \delta_+ + \infty]$ であるが、計算の都合上 1.5 で打ち切る。

4. 適用結果

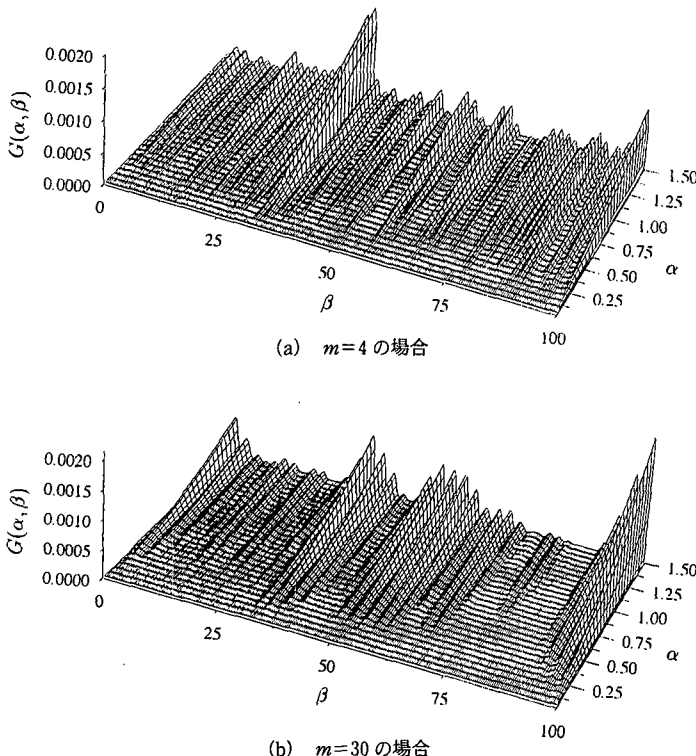
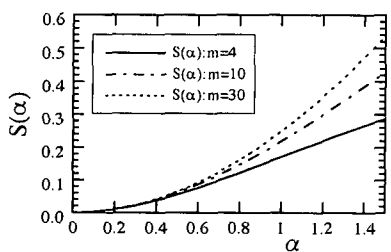
4.1 初期条件

初期スペクトルを次式で表される Wallops 型スペクトルとして持つ不規則波を合成し、代表波形勾配 k_{pa} を 0.1、スペクトルバンド幅パラメータ m を 4 から 100 まで 18通り、合計 20 ケースを解析対象とした。

$$S(f) df = \alpha H_{1/3} f_p^{-1} \left(\frac{f}{f_p}\right)^{-m} \exp\left[-\frac{m}{4}\left(\frac{f}{f_p}\right)^{-4}\right] df \quad \dots \dots \dots (32)$$

$$\eta(t) = \sum_{n=1}^{\infty} \sqrt{2S(f_n) \Delta f} \cos(2\pi f_n t + \epsilon_n) \quad \dots \dots \dots (33)$$

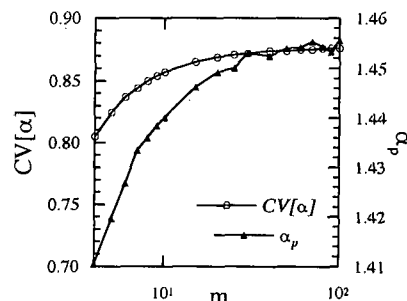
ここで、 α は $H_{1/3}=4.004\sqrt{\int_0^x S(f) df}$ を満たす定数、 f_p はスペクトルのピーク周波数、 $H_{1/3}$ は有義波高の 1/2、 m は

図-3 式 (13) により得られた係数 $G^2(\alpha, \beta)$ の分布図-4 平均集中度 $S_o(\alpha)$ に及ぼすスペクトル幅の影響

スペクトルバンド幅パラメータ, ε_n は $[0, 2\pi]$ の間で分布を持つ一様乱数列であり, 一波列当たり 400~500 波としている。

4.2 解析結果

図-2 は, m と GF , 平均連長 j_{mean} , skewness および kurtosis の関係を示す。 GF および j_{mean} 共にスペクトル幅が狭くなるほど大きな値を取っており, j_{mean} だけではなく, GF もスペクトル幅に大きく影響を受けていることがわかる。これは, GF が式 (3) の関係から大きな波高を持つ波の出現確率に関わっているだけでなく, スペクトル幅の影響も同時に含んでいることを示し, GF 波群を表すパラメータとしては不適切な面があることを表している。また, skewness の値はほぼ 0 であるが, kurtosis

図-5 代表集中度 α_p および $CV[\alpha]$ とスペクトル幅の関係

の値はスペクトル幅が狭帯である場合はほぼ 3, 広帯になると 0.28 前後となり, Gauss 分布からやや外れる傾向がある。

これらの特性をもつ不規則波列に対して式 (13) で定義された関数展開を適用することにする。図-3 は $m=4$ および 30 の場合の結果であり, $m=4$ の場合が α の値が大きくなるにつれ係数 $G^2(\alpha, \beta)$ の変動分布が β 方向に離散的になるのに対し, $m=30$ では前後の変化に対して緩やかに変化するようになっている。この, α 軸方向の $G^2(\alpha, \beta)$ の変化率は波列の連に対応しているため, この集中度 α の変化を調べることにより連の特性が, また時間変化 β について調べることができる筈である。そこで

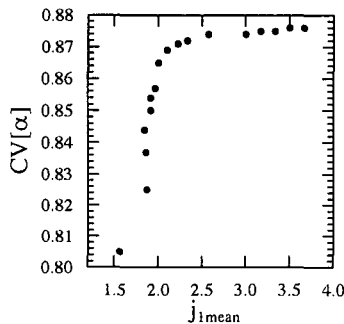
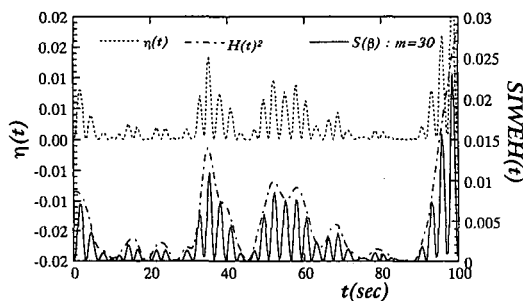
図-6 代表集中度 α_β と平均連長 $j_{1\text{mean}}$ の関係図-7 $S_\beta(\beta)$ と水位変動の 2 乗値 $\eta^2(t)$ より包絡波形の 2 乗値 $H^2(t)$ の時間変化

図-4 に示すのは、係数 $G(\alpha, \beta)$ を時間変化成分 β について観測区間 $[0, T_0]$ において積分した $S_\alpha(\alpha)$ とスペクトルバンド幅の関係である。

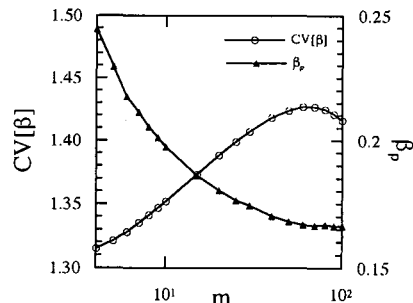
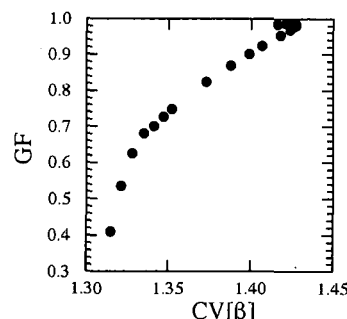
$$S_\alpha(\alpha) = \int_0^{T_0} |G(\alpha, \beta, 1)|^2 d\beta \quad \dots \dots \dots \quad (34)$$

図より、平均的に見た α の変化率はスペクトルバンド幅に大きく影響されており、 $S_\alpha(\alpha)$ の分布から平均的な集中度つまり波列の連特性を調べることにより可能であることがわかる。図-5 に示すのは、 $S_\alpha(\alpha)$ の代表値として α の重心 α_β および変動係数 $CV[\alpha]$ とスペクトル幅の関係であり、ここで対象としている線形波列の場合の代表的な集中度（重心） α_β はスペクトル幅に依存していることがわかる。また、図-6 は代表的な集中度 α_β と設定波高を $H_{1/3}$ とした場合の平均連長 $j_{1\text{mean}}$ の関係であり、集中度の代表量は平均連長と良く対応していることがわかる。

図-7 は、係数 G を α について積分した $S_\beta(\beta)$ 、 $\eta^2(t)$ や Hilbert 変換による包絡波形の比較である。

$$S_\beta(\beta) = \int_{0+\delta_\beta}^{1.5} |G(\alpha, \beta, 1)|^2 d\alpha \quad \dots \dots \dots \quad (35)$$

S_β は包絡波形の変化と良く対応しており式 (13) の変数変換によっても波列の変化を時間的に捉えられる。そこで、 $S_\beta(\beta)$ を用いて波列のエネルギー変化について調べ

図-8 代表変動 $S_\beta(\beta)$ の代表値 β_p および $CV[\beta]$ とスペクトル幅の関係図-9 代表変動 $CV[\beta]$ と GF の関係

るため、図-8 に S_β の代表量としてそのピーク値 β_p および変動係数 $CV[\beta]$ の関係を示す。

$$\beta_p = \frac{\int \omega \tilde{G}(\omega) \tilde{G}^*(\omega) d\omega}{\int \tilde{G}(\omega) \tilde{G}^*(\omega) d\omega} \quad \dots \dots \dots \quad (36)$$

ここに、 \tilde{G} は G の複素フーリエ係数であり、 β_p はスペクトル幅が狭くなるにつれ減少し、1 に近づくことがわかる。つまり、スペクトル幅が狭くなると波列の変化は緩やかになり、変動係数 $CV[\beta]$ の値は減少し、図-2 の結果と逆の傾向となっている。図-9 は、 $CV[\beta]$ と GF との関係を示す。スペクトル幅に関係無く両者の間には一義的な関係が存在することがわかる。

5. 結 語

以上、平均連長および GF の持つ意味、他の波形統計量との関連性およびその問題点について検討を行い、これを踏まえた波群の表示方法についての提案とその適用について試みた。フーリエ変換およびウェーブレット変換を含む関数展開を用いて波形の解析を行った結果、集中度として連長に相当する量が、また時系列特性として GF に相当する量一つの関数展開の中から得られた。

最後に、本研究は文部省科学研究費（特別員研究費）による成果であることを付記し、ここに深謝する。